

annexe/appendix

1

Figures 1.1 à 1.55

Figures 1.1 to 1.55

Tableaux 1.1 à 1.13

Tables 1.1 to 1.13

Analyse des sous-populations de souches selon leur niveau de sensibilité (informations de type 1)

*Sub-population analysis of isolates
according to their susceptibility level
(type 1 information)*

ANNEXE 1 / APPENDIX 1

Dans les figures suivantes, la valeur de diamètre 36 mm correspond en fait à ≥ 36 mm. En effet, 36 mm est souvent la valeur maximale mesurée par les caméras ou entrée dans les systèmes de gestion des laboratoires.
D et d représentent les valeurs supérieures et inférieures des diamètres critiques.

*In the following figures, the 36 mm diameter value corresponds to ≥ 36 mm. Indeed, 36 mm is often the highest value given by automatic cameras or recorded in laboratory information systems.
D and d represent the high and low critical values of diameters.*

Figure 1.1

Escherichia coli (477 souches) : distribution des diamètres d'inhibition pour l'amoxicilline, souches isolées de bactériémies.

Escherichia coli (477 strains): distribution of inhibition zone diameters for amoxicillin; strains isolated from bacteraemia (Réseau AZAY-Résistance, 2003).

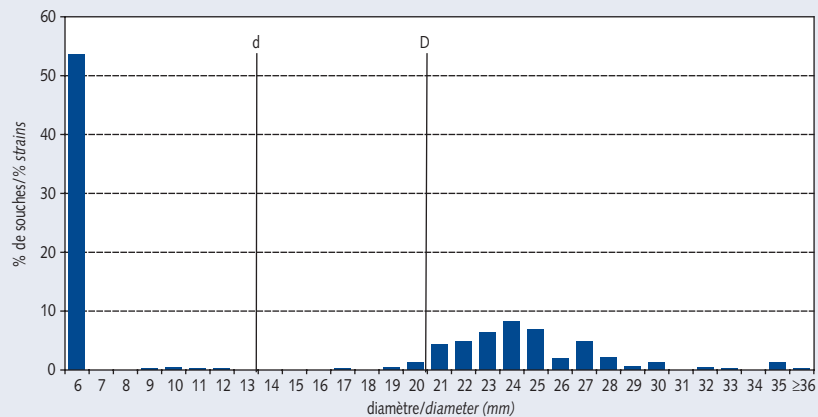


Figure 1.2

Escherichia coli (312 souches) : distribution des diamètres d'inhibition pour l'association amoxicilline-clavulanate, souches isolées de bactériémies.

Escherichia coli (312 strains): distribution of inhibition zone diameters for amoxicillin-clavulanate; strains isolated from bacteraemia (Réseau AZAY-Résistance, 2003).

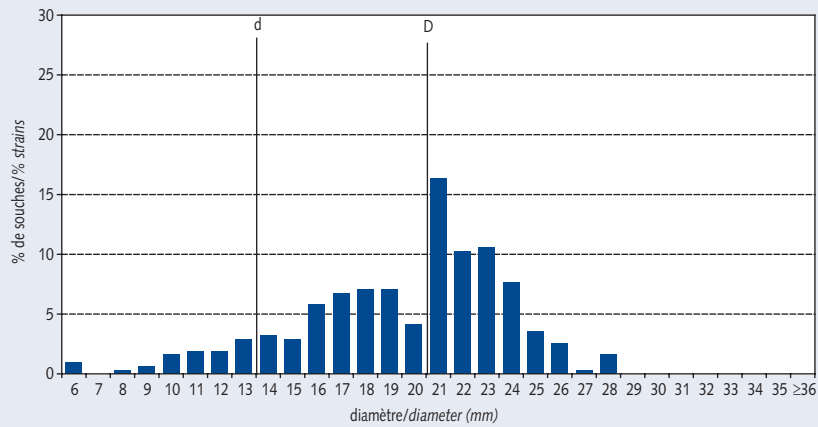


Figure 1.3

Escherichia coli (477 souches) : distribution des diamètres d'inhibition pour le céfotaxime, souches isolées de bactériémies.

Escherichia coli (477 strains): distribution of inhibition zone diameters for cefotaxime; strains isolated from bacteraemia (Réseau AZAY-Résistance, 2003).

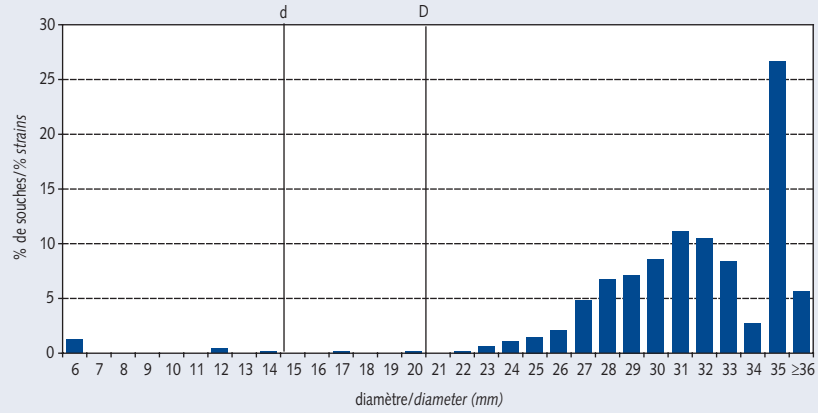


Figure 1.4

Escherichia coli (477 souches) : distribution des diamètres d'inhibition pour l'imipénème, souches isolées de bactériémies.

Escherichia coli (477 strains): distribution of inhibition zone diameters for imipenem; strains isolated from bacteraemia (Réseau AZAY-Résistance, 2003).

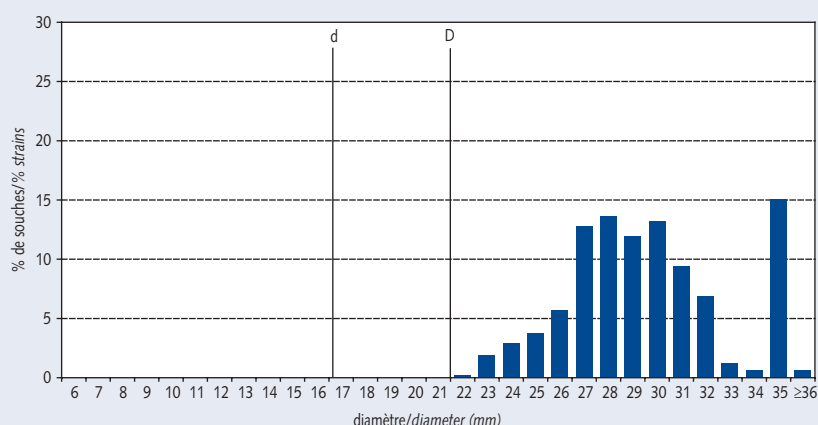


Figure 1.5

Escherichia coli (361 souches) : distribution des diamètres d'inhibition pour l'acide nalidixique, souches isolées de bactériémies.

Escherichia coli (361 strains): distribution of inhibition zone diameters for nalidixic acid; strains isolated from bacteraemia (Réseau AZAY-Résistance, 2003).

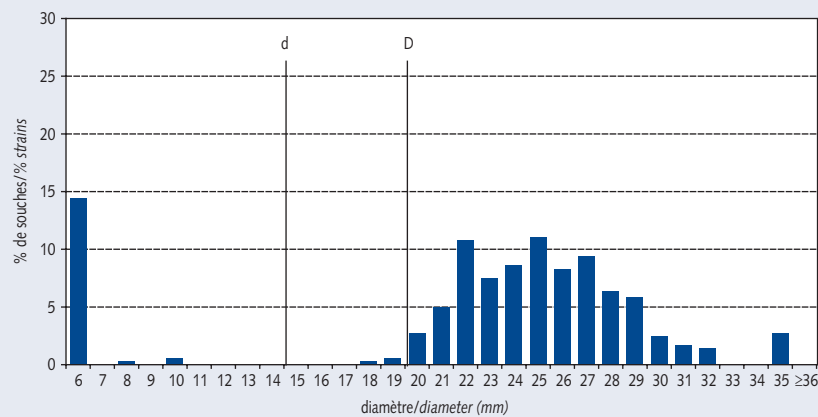


Figure 1.6

Escherichia coli (475 souches) : distribution des diamètres d'inhibition pour la gentamicine, souches isolées de bactériémies.

Escherichia coli (475 strains): distribution of inhibition zone diameters for gentamicin; strains isolated from bacteraemia (Réseau AZAY-Résistance, 2003).

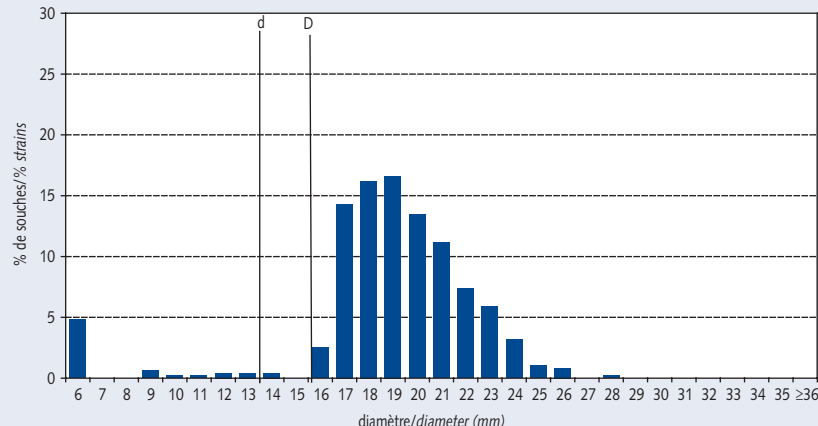


Figure 1.7

Escherichia coli (478 souches) : distribution des diamètres d'inhibition pour la ciprofloxacine, souches isolées de bactériémies.

Escherichia coli (478 strains): distribution of inhibition zone diameters for ciprofloxacin; strains isolated from bacteraemia (Réseau AZAY-Résistance, 2003).

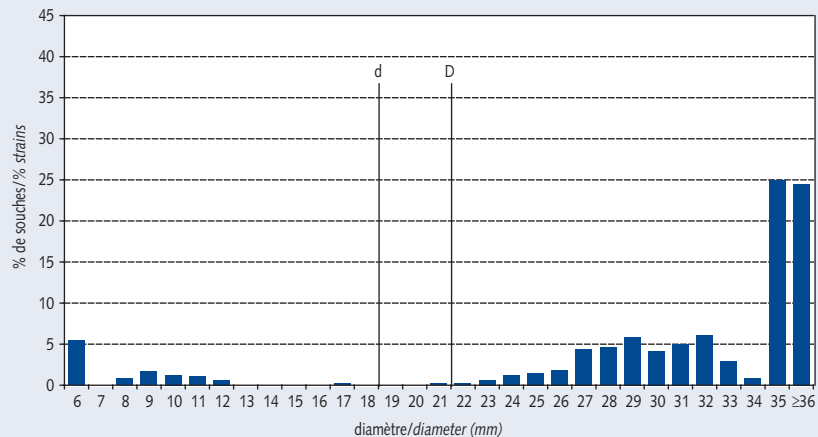


Figure 1.8

Escherichia coli (303 souches) : distribution des diamètres d'inhibition pour la ciprofloxacine sur les souches sensibles à l'acide nalidixique, souches isolées de bactériémies.

Escherichia coli (303 strains): distribution of inhibition zone diameters for ciprofloxacin of strains susceptible to nalidixic acid; strains isolated from bacteraemia (Réseau AZAY-Résistance, 2003).

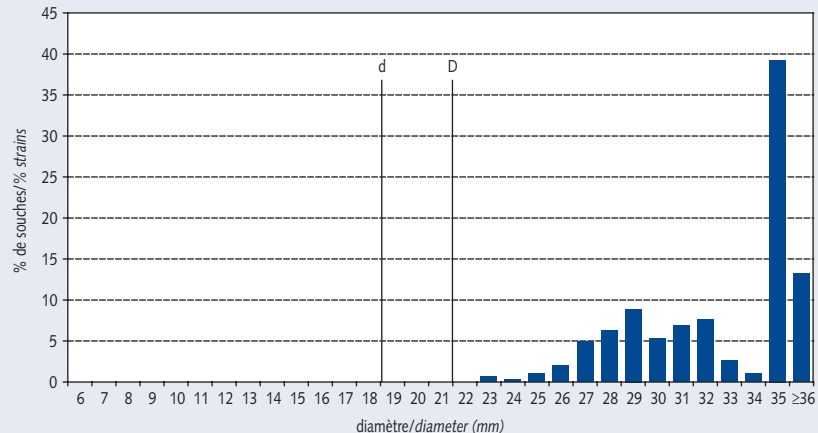


Figure 1.9

Escherichia coli (55 souches) : distribution des diamètres d'inhibition pour la ciprofloxacine sur les souches non sensibles (I + R) à l'acide nalidixique, souches isolées de bactériémies.

Escherichia coli (55 strains): distribution of inhibition zone diameters for ciprofloxacin of nalidixic acid non-susceptible strains (I+R); strains isolated from bacteraemia (Réseau AZAY-Résistance, 2003).

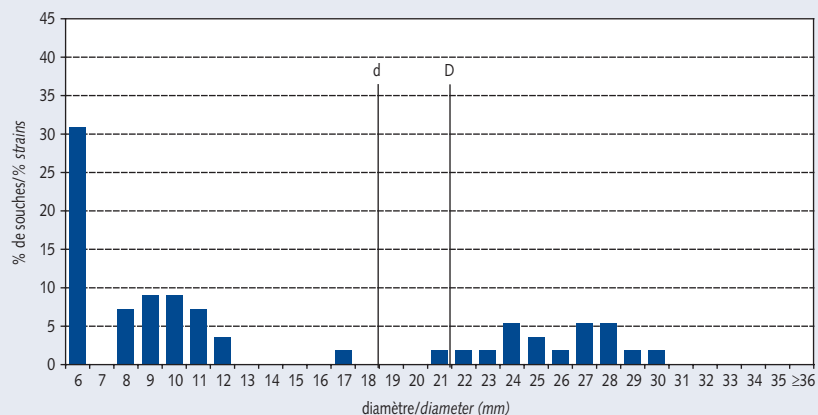


Figure 1.10

Escherichia coli (137 souches) : distribution des diamètres d'inhibition pour amoxicilline-clavulanate sur les souches sensibles à l'amoxicilline, souches isolées de bactériémies.

Escherichia coli (137 strains): distribution of inhibition zone diameters for amoxicillin-clavulanate on strains susceptible to amoxicillin; strains isolated from bacteraemia (Réseau AZAY-Résistance, 2003).

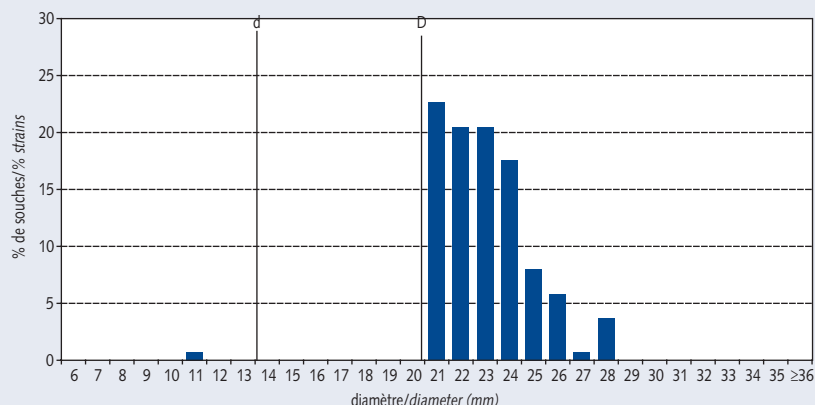


Figure 1.11

Escherichia coli (164 souches) : distribution des diamètres d'inhibition pour amoxicilline-clavulanate sur les souches non sensibles à l'amoxicilline (I+R), souches isolées de bactériémies.

Escherichia coli (164 strains): distribution of inhibition zone diameters for amoxicillin-clavulanate on amoxicillin-non susceptible strains (I+R); strains isolated from bacteraemia (Réseau AZAY-Résistance, 2003).

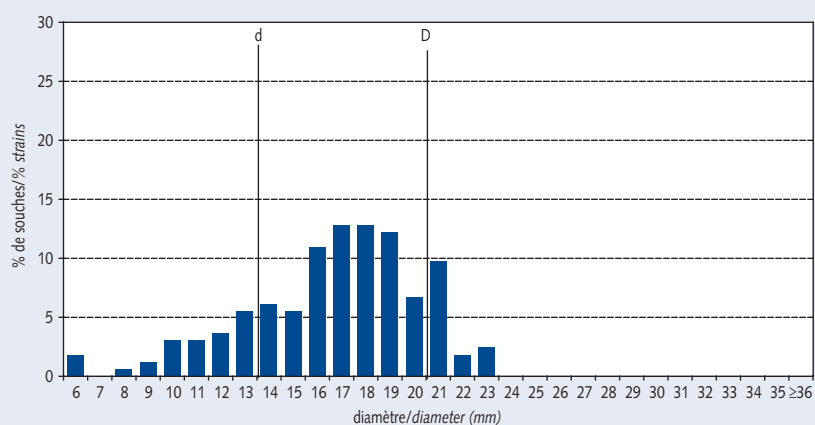


Figure 1.12

Escherichia coli (279 souches) : distribution des diamètres d'inhibition pour le cotrimoxazole.

Escherichia coli (279 strains): distribution of inhibition zone diameters for cotrimoxazole; strains isolated from bacteraemia (Réseau AZAY-Résistance, 2003).

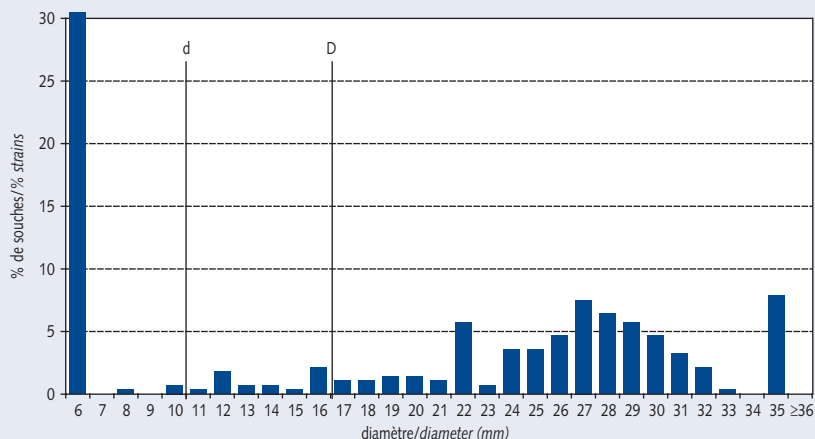


Figure 1.13

Morganella morganii (563 souches) : distribution des diamètres d'inhibition pour le céfotaxime.

Morganella morganii (563 strains): distribution of inhibition zone diameters for cefotaxime (Réseau REUSSIR, 2003).

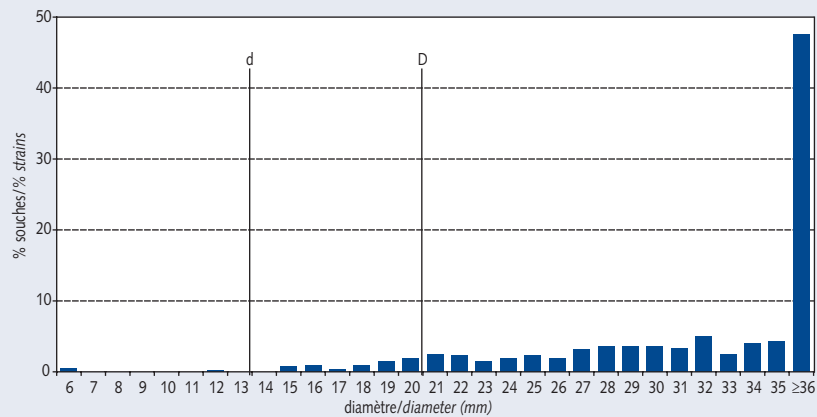


Figure 1.14

Morganella morganii (400 souches) : distribution des diamètres d'inhibition pour l'acide nalidixique.

Morganella morganii (400 strains): distribution of inhibition zone diameters for nalidixic acid (Réseau REUSSIR, 2003).

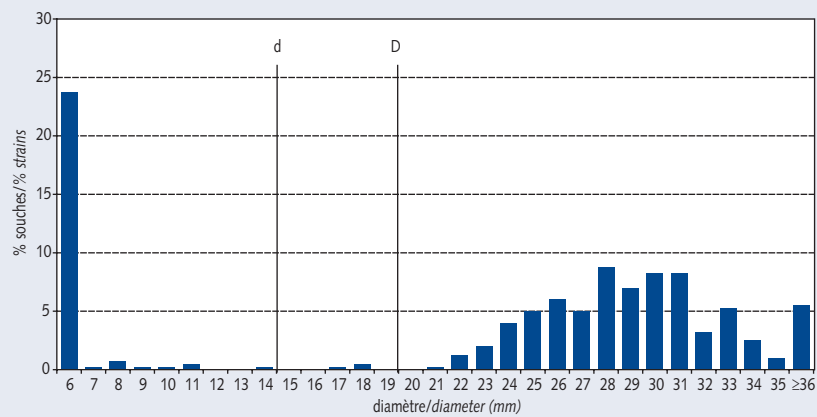


Figure 1.15

Morganella morganii (396 souches) : distribution des diamètres d'inhibition pour la ciprofloxacine.

Morganella morganii (396 strains): distribution of inhibition zone diameters for ciprofloxacin (Réseau REUSSIR, 2003).

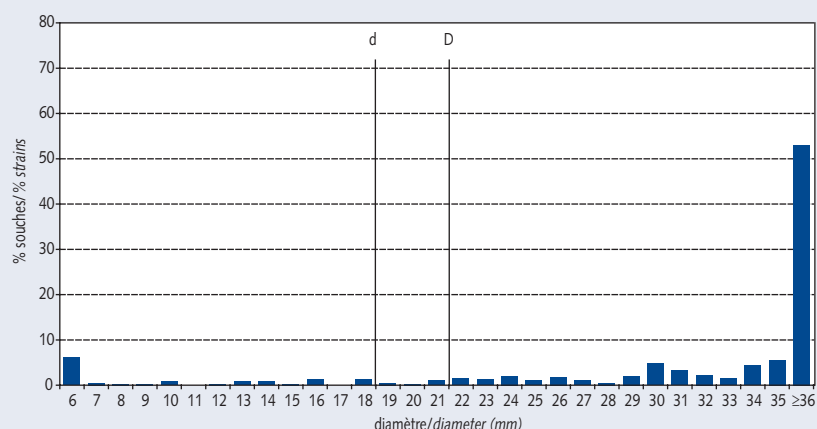


Figure 1.16

Morganella morganii (235 souches) : distribution des diamètres d'inhibition pour la ciprofloxacine sur les souches sensibles à l'acide nalidixique.

Morganella morganii (235 strains): distribution of inhibition zone diameters for ciprofloxacin on isolates susceptible to nalidixic acid (Réseau REUSSIR, 2003).

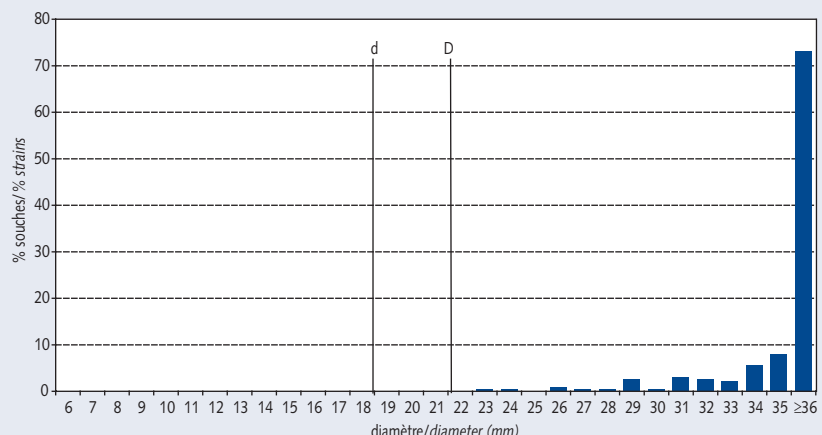


Figure 1.17

Morganella morganii (80 souches) : distribution des diamètres d'inhibition pour la ciprofloxacine sur les souches non sensibles (I+R) à l'acide nalidixique.

Morganella morganii (80 strains): distribution of inhibition zone diameters for ciprofloxacin on isolates not susceptible (I+R) to nalidixic acid (Réseau REUSSIR, 2003).

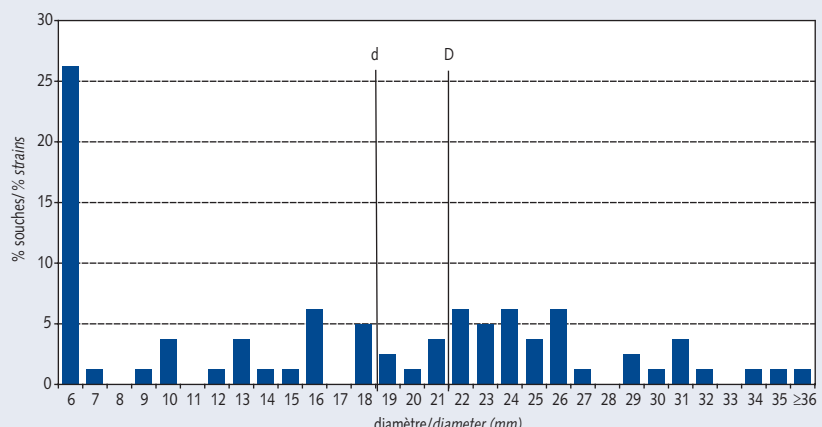


Figure 1.18

Proteus mirabilis (1 869 souches) : distribution des diamètres d'inhibition pour l'amoxicilline.

Proteus mirabilis (1 869 strains): distribution of inhibition zone diameters for amoxicillin (Réseau REUSSIR, 2003).

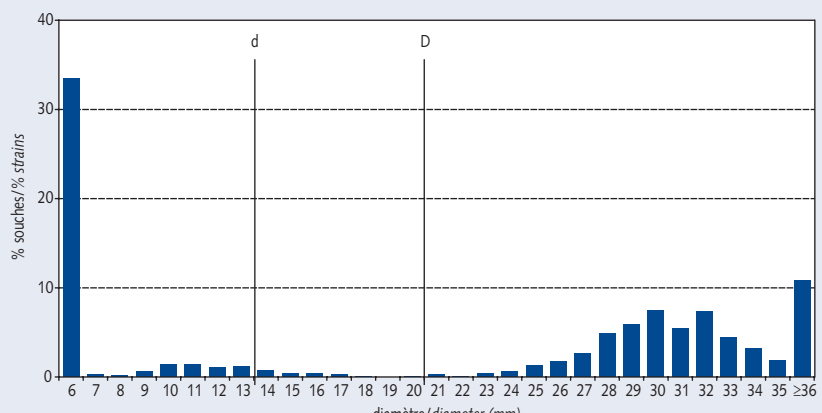


Figure 1.19

Proteus mirabilis
(1 780 souches) :
distribution des
diamètres d'inhibition
pour le céfotaxime.

Proteus mirabilis
(1 780 strains):
distribution of inhibition
zone diameters for
cefotaxime (Réseau
REUSSIR, 2003).

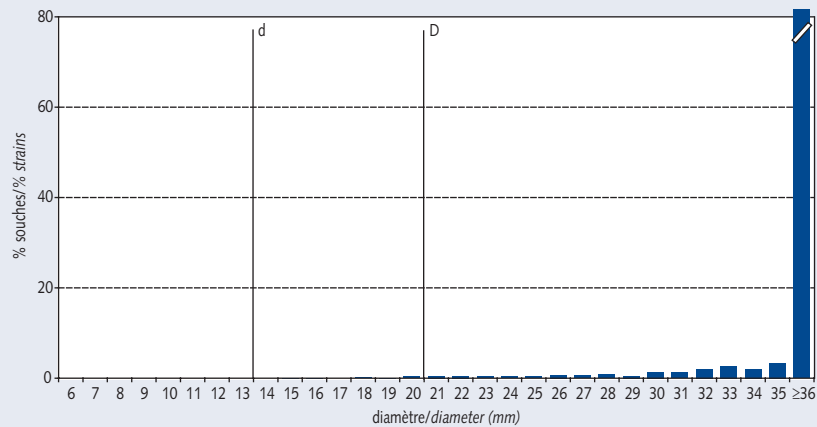


Figure 1.20

Proteus mirabilis
(1 491 souches) :
distribution des
diamètres d'inhibition
pour l'acide
nalidixique.

Proteus mirabilis
(1 491 strains):
distribution of
inhibition zone
diameters for nalidix
acid (Réseau
REUSSIR, 2003).

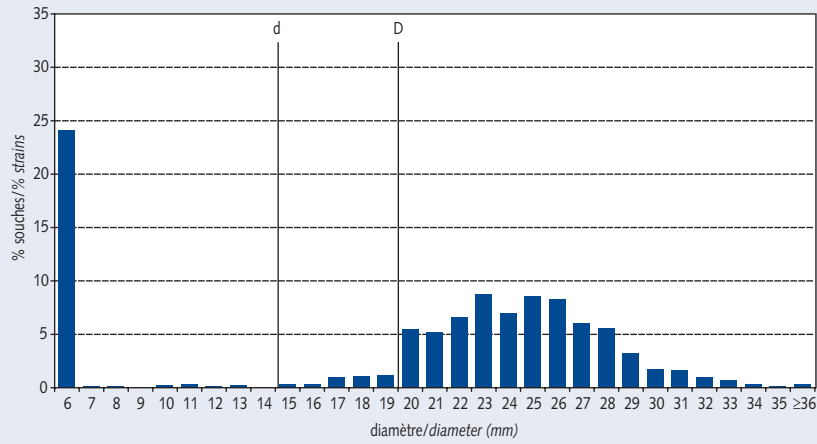


Figure 1.21

Proteus mirabilis
(1 280 souches) :
distribution des
diamètres d'inhibition
pour la ciprofloxacine.

Proteus mirabilis
(1 280 strains):
distribution of inhibition
zone diameters
for ciprofloxacin (Réseau
REUSSIR, 2003).

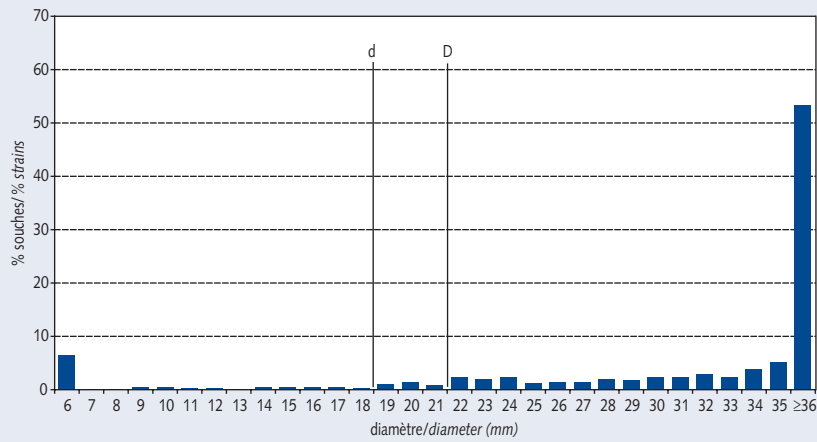


Figure 1.22

Proteus mirabilis
(834 souches :
distribution des
diamètres d'inhibition
pour la ciprofloxacine
sur les souches sensibles
à l'acide nalidixique.

Proteus mirabilis
(834 strains):
distribution of inhibition
zone diameters for
ciprofloxacin on isolates
susceptible to nalidixic
acid (Réseau
REUSSIR, 2003).

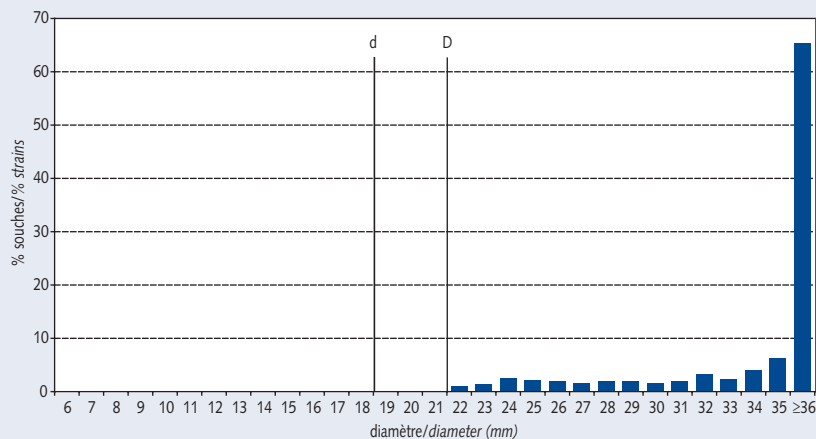


Figure 1.23

Proteus mirabilis
(351 souches) :
distribution des
diamètres d'inhibition
pour la ciprofloxacine
sur les souches non
sensibles (I+R) à l'acide
nalidixique.

Proteus mirabilis
(351 strains):
distribution of inhibition
zone diameters for
ciprofloxacin on isolates
not susceptible (I+R)
to nalidixic acid (Réseau
REUSSIR, 2003).

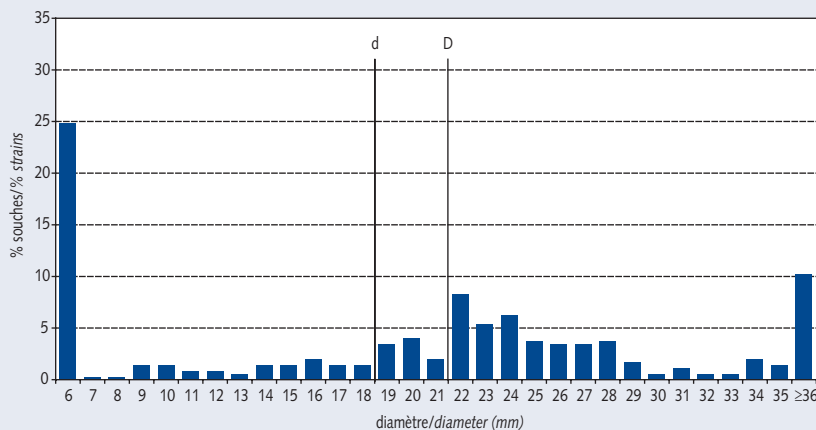


Figure 1.24

Proteus vulgaris
(190 souches) :
distribution des
diamètres d'inhibition
pour le céfotaxime.

Proteus vulgaris
(190 strains):
distribution of inhibition
zone diameters
for cefotaxime (Réseau
REUSSIR, 2003).

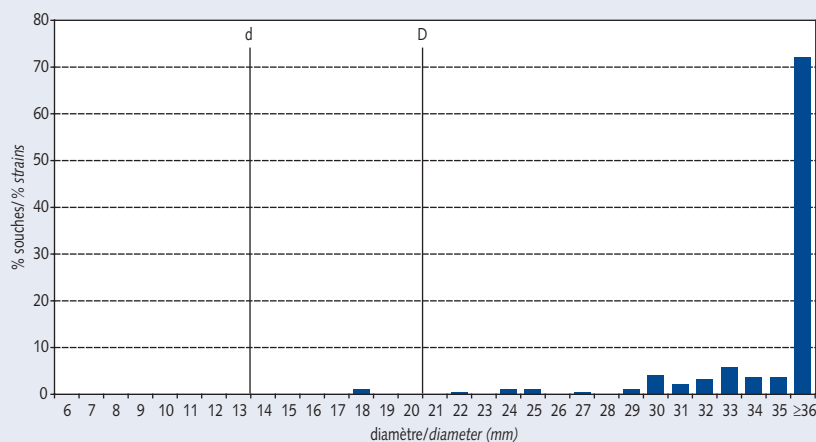


Figure 1.25

Proteus vulgaris (151 souches) : distribution des diamètres d'inhibition pour l'acide nalidixique.

Proteus vulgaris (151 strains): distribution of inhibition zone diameters for nalidixic acid (Réseau REUSSIR, 2003).

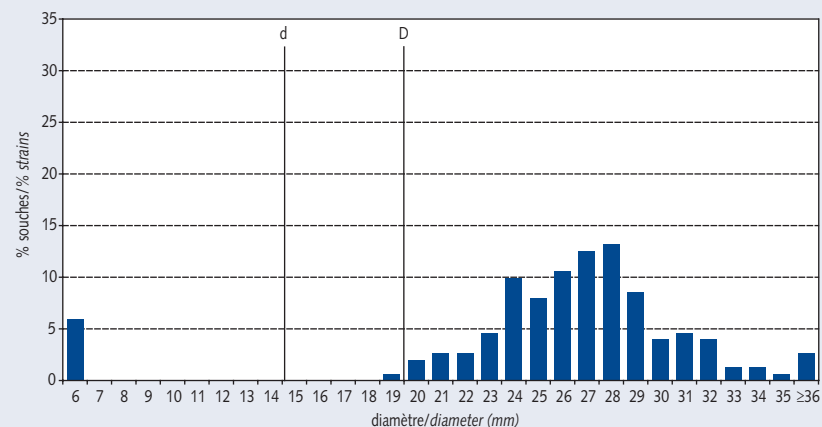


Figure 1.26

Proteus vulgaris (138 souches) : distribution des diamètres d'inhibition pour la ciprofloxacine.

Proteus vulgaris (138 strains): distribution of inhibition zone diameters for ciprofloxacin (Réseau REUSSIR, 2003).

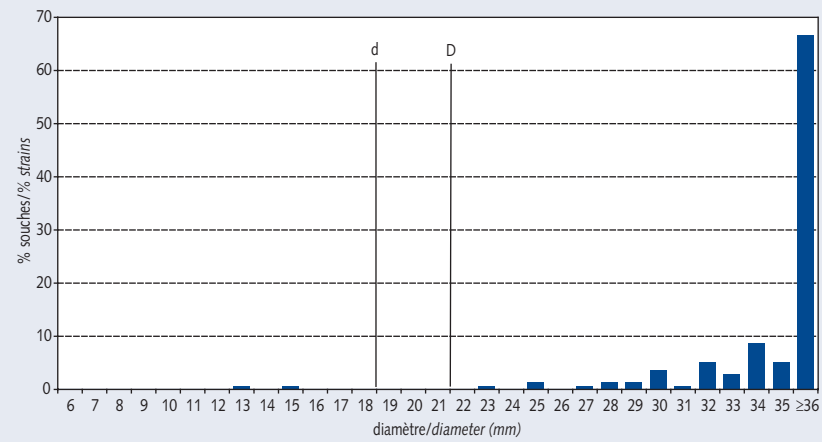


Figure 1.27

Salmonella enteritidis (135 souches) : distribution des diamètres d'inhibition pour l'amoxicilline.

Salmonella enteritidis (135 strains): distribution of inhibition zone diameters for amoxicillin (Réseau REUSSIR, 2003).

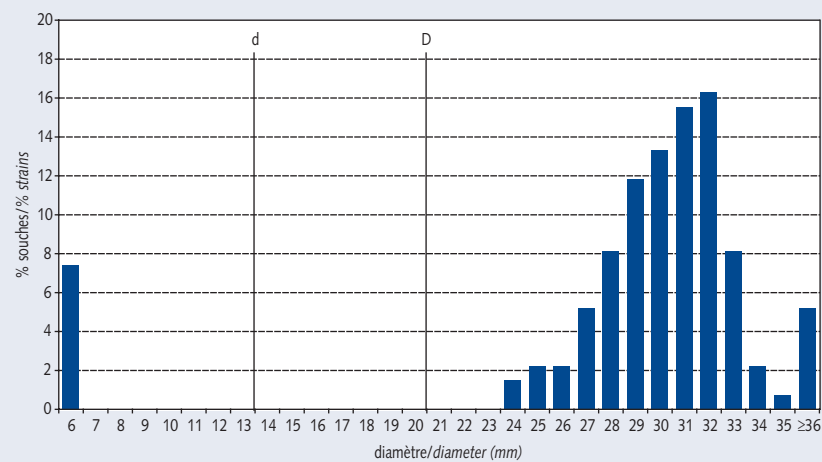


Figure 1.28

Salmonella enteritidis
(123 souches) :
distribution
des diamètres
d'inhibition pour
le céfotaxime.

Salmonella enteritidis
(123 strains):
distribution of inhibition
zone diameters
for cefotaxime (Réseau
REUSSIR, 2003).

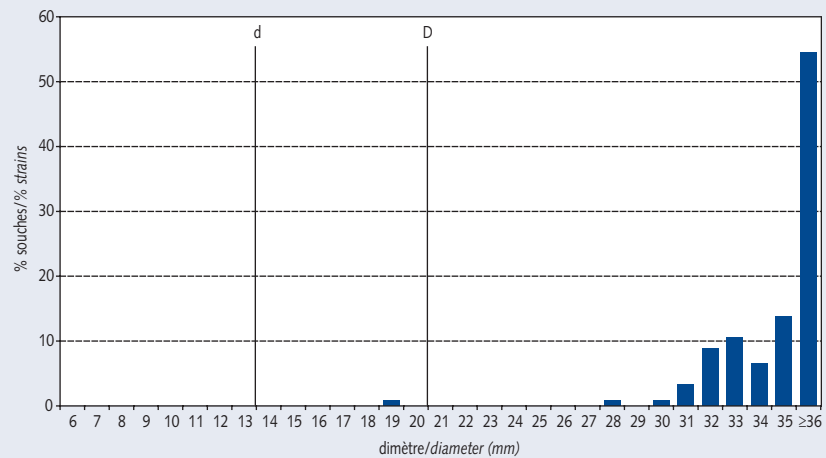


Figure 1.29

Salmonella enteritidis
(96 souches) :
distribution
des diamètres
d'inhibition pour l'acide
nalidixique.

Salmonella enteritidis
(96 strains): distribution
of inhibition zone
diameters for nalidixic
acid (Réseau
REUSSIR, 2003).

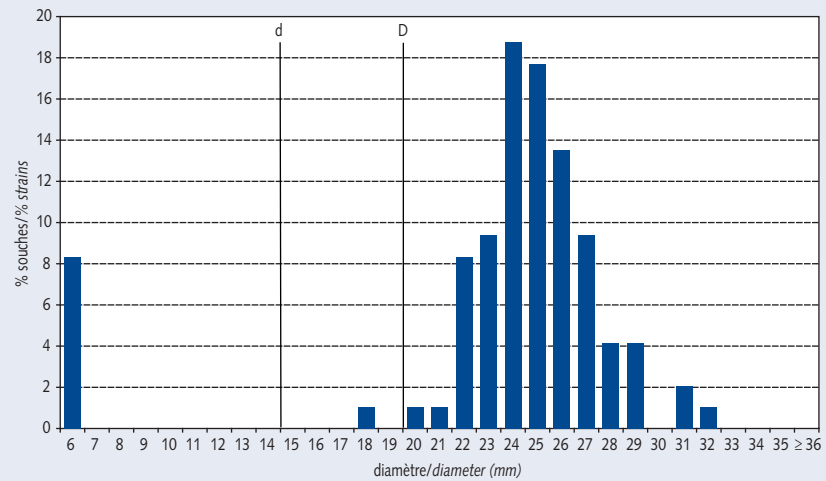


Figure 1.30

Salmonella enteritidis
(102 souches) :
distribution
des diamètres
d'inhibition
pour la ciprofloxacine.

Salmonella enteritidis
(102 strains):
distribution of inhibition
zone diameters
for ciprofloxacin (Réseau
REUSSIR, 2003).

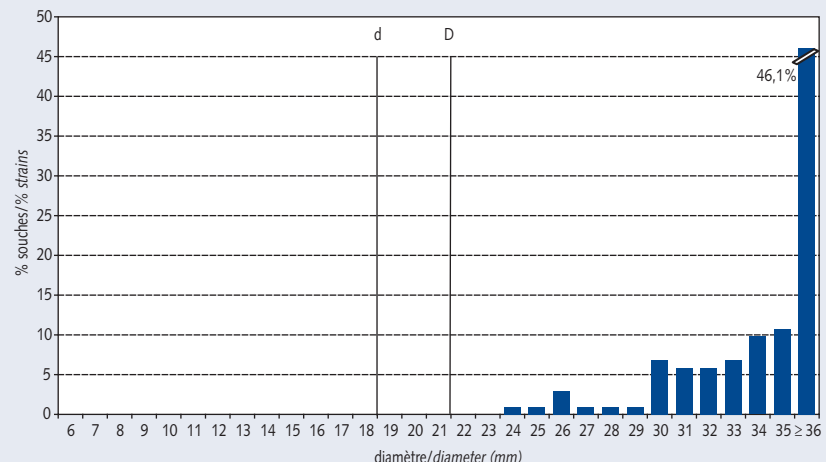


Figure 1.31

Salmonella Typhimurium (76 souches) : distribution des diamètres d'inhibition pour l'amoxicilline.

Salmonella Typhimurium (76 strains): distribution of inhibition zone diameters for amoxicillin (Réseau REUSSIR, 2003).

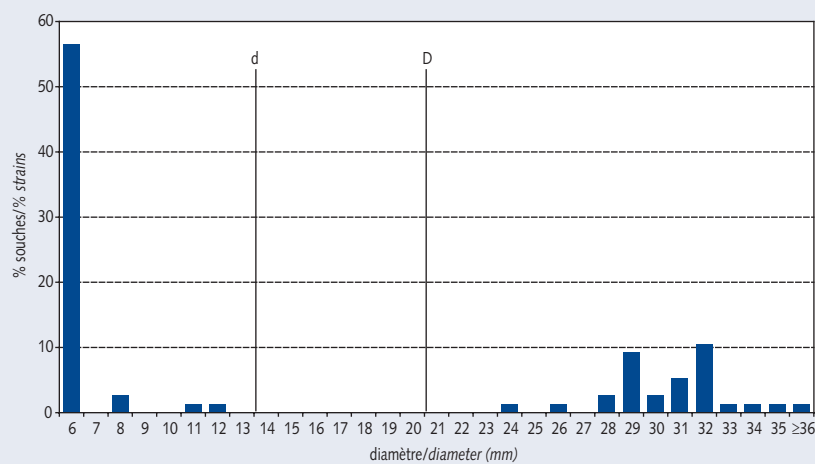


Figure 1.32

Salmonella Typhimurium (83 souches) : distribution des diamètres d'inhibition pour le céfotaxime.

Salmonella Typhimurium (83 strains): distribution of inhibition zone diameters for cefotaxime (Réseau REUSSIR, 2003).

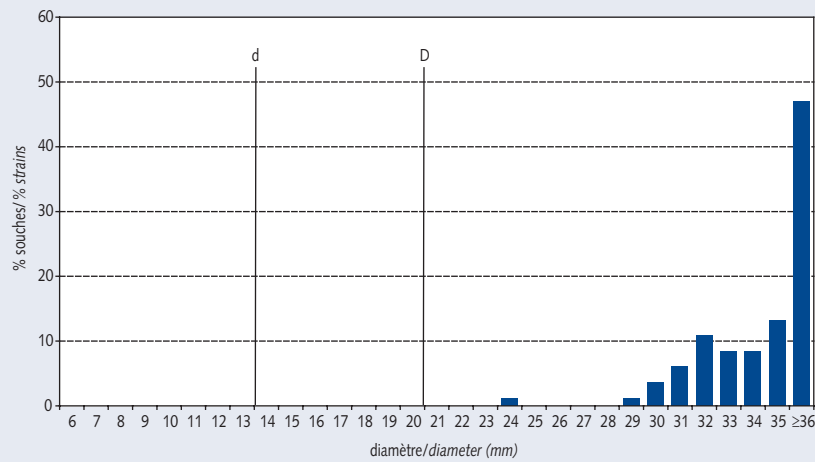
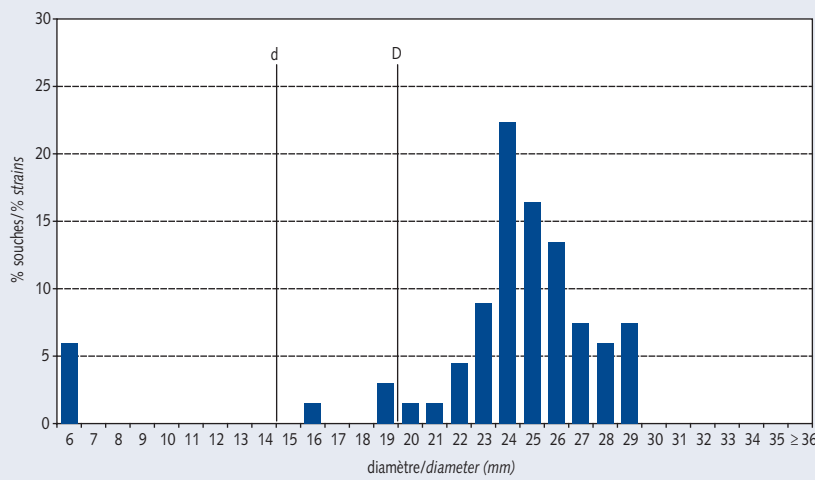


Figure 1.33

Salmonella Typhimurium (67 souches) : distribution des diamètres d'inhibition pour l'acide nalidixique.

Salmonella Typhimurium (67 strains): distribution of inhibition zone diameters for nalidixic acid (Réseau REUSSIR, 2003).



ANNEXE 1 / APPENDIX 1

Figure 1.34

Salmonella Typhimurium (70 souches) : distribution des diamètres d'inhibition pour la ciprofloxacine.

Salmonella Typhimurium (70 strains): distribution of inhibition zone diameters for ciprofloxacin (Réseau REUSSIR, 2003).

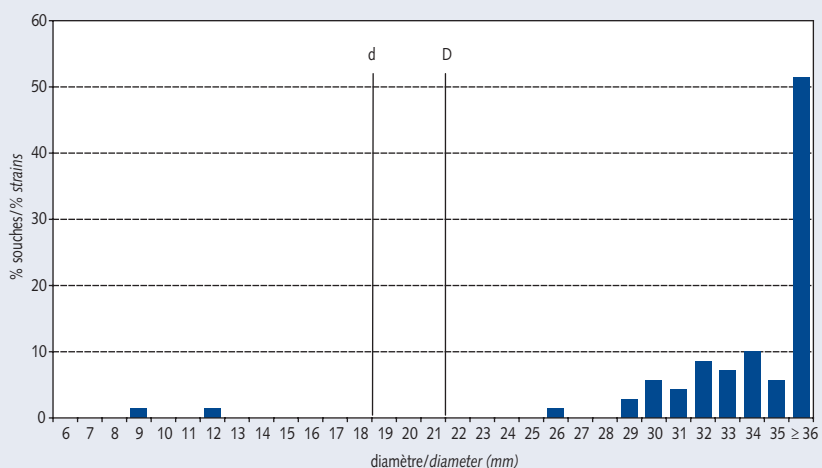


Figure 1.35

Pseudomonas aeruginosa (3 327 souches) : distribution des diamètres d'inhibition pour la ticarcilline.

Pseudomonas aeruginosa (3 327 strains): distribution of inhibition zone diameters for ticarcillin (Réseau REUSSIR, 2003).

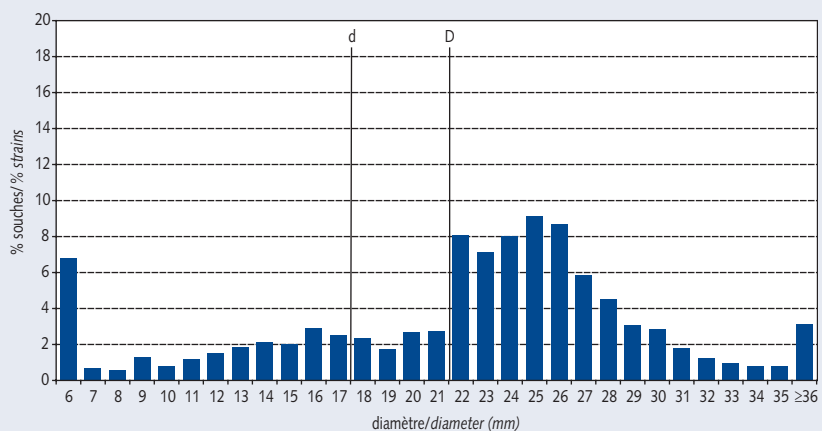


Figure 1.36

Pseudomonas aeruginosa (3 332 souches) : distribution des diamètres d'inhibition pour la pipéracilline.

Pseudomonas aeruginosa (3 332 strains): distribution of inhibition zone diameters for piperacillin (Réseau REUSSIR, 2003).

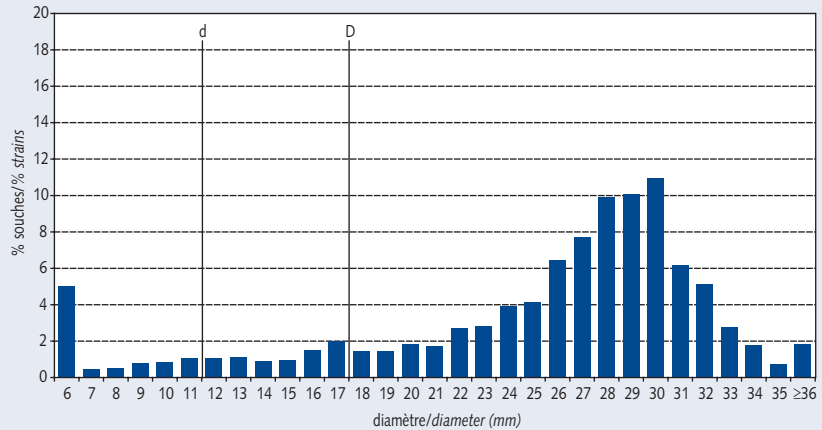


Figure 1.37

Pseudomonas aeruginosa (3 304 souches) : distribution des diamètres d'inhibition pour la pipéracilline/tazobactam.

Pseudomonas aeruginosa (3 304 strains) : distribution of inhibition zone diameters for piperacillin/tazobactam (Réseau REUSSIR, 2003).

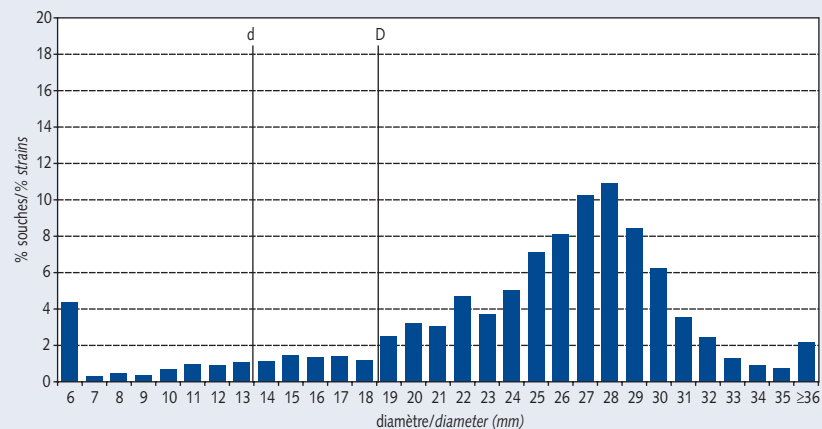


Figure 1.38

Pseudomonas aeruginosa (3 347 souches) : distribution des diamètres d'inhibition pour la ceftazidime.

Pseudomonas aeruginosa (3 347 strains) : distribution of inhibition zone diameters for ceftazidime (Réseau REUSSIR, 2003).

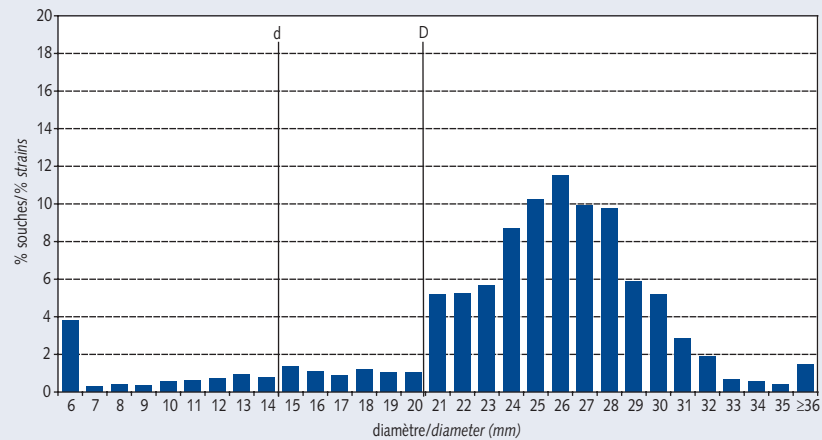
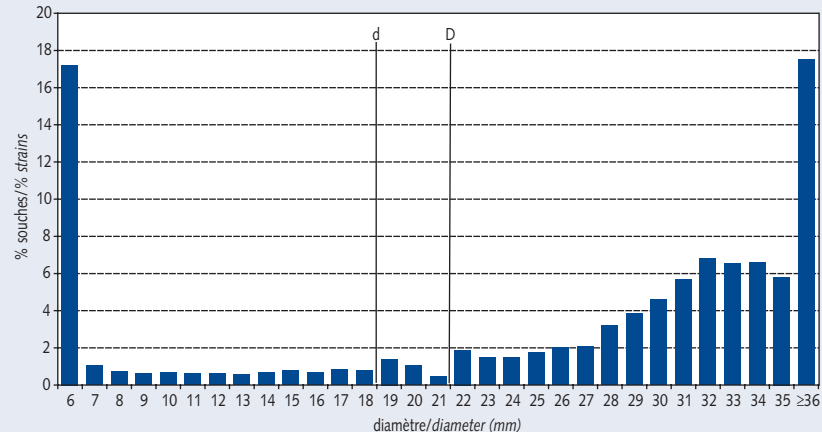


Figure 1.39

Pseudomonas aeruginosa (3 287 souches) : distribution des diamètres d'inhibition pour la ciprofloxacine.

Pseudomonas aeruginosa (3 287 strains) : distribution of inhibition zone diameters for ciprofloxacin (Réseau REUSSIR, 2003).



ANNEXE 1 / APPENDIX 1

Figure 1.40

Pseudomonas aeruginosa (2 707 souches) : distribution des diamètres d'inhibition pour pipérazilline / tazobactam sur les souches sensibles à la pipérazilline.

Pseudomonas aeruginosa (2 707 strains): distribution of inhibition zone diameters for piperacillin/tazobactam on isolates susceptible to piperacillin (Réseau REUSSIR, 2003).

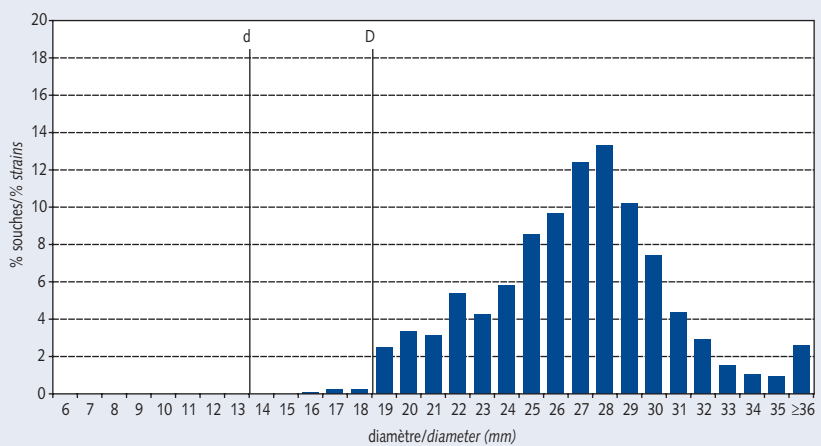


Figure 1.41

Pseudomonas aeruginosa (351 souches) : distribution des diamètres d'inhibition pour pipérazilline / tazobactam sur les souches non sensibles (I + R) à la pipérazilline.

Pseudomonas aeruginosa (351 strains): distribution of inhibition zone diameters for piperacillin/tazobactam on isolates not susceptible (I+R) to piperacillin (Réseau REUSSIR, 2003).

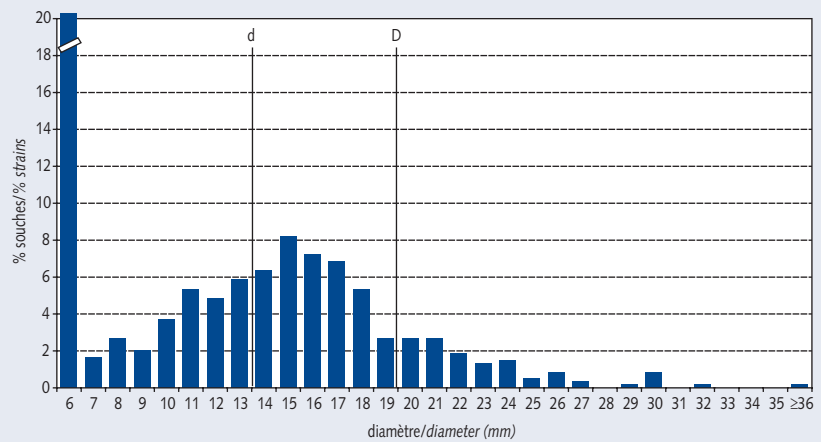


Figure 1.42

Streptococcus pneumoniae
(1 723 souches) :
distribution des CMI
des β -lactamines.

Streptococcus pneumoniae
(1 723 strains) :
distribution of
beta-lactams MICs. (CNR
des Pneumocoques
et Observatoires
Régionaux
du Pneumocoque, 2003).

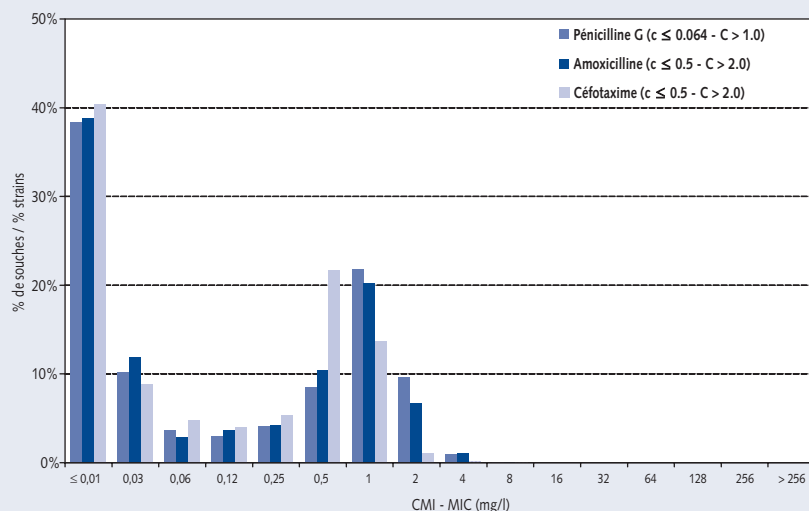


Figure 1.43

Streptococcus pneumoniae
(1 723 souches) :
distribution des CMI
de fluoroquinolones.

Streptococcus pneumoniae
(1 723 strains) :
distribution of
fluoroquinolones MICs.
(CNR des Pneumocoques
et Observatoires
Régionaux
du Pneumocoque, 2003).

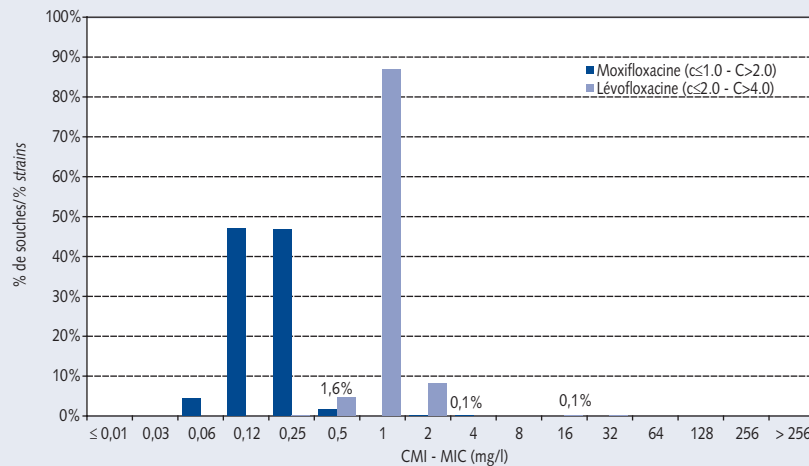
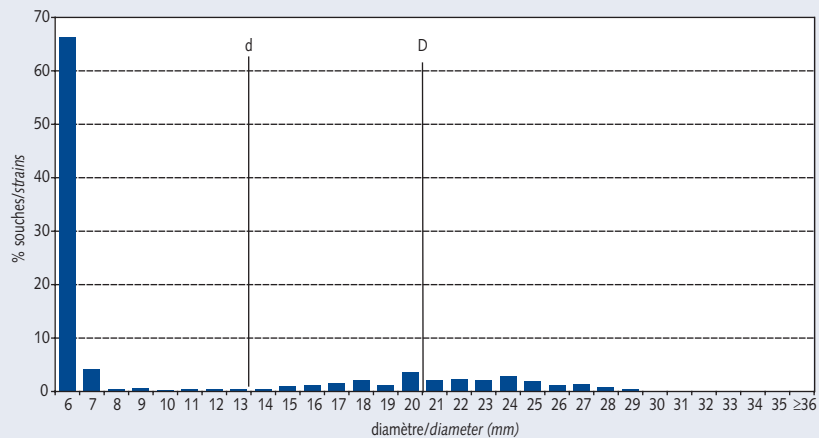


Figure 1.44

Escherichia coli
(1 891 souches) :
distribution des
diamètres pour
l'amoxicilline, souches
de bovins.

Escherichia coli
(1 891 strains) :
distribution of inhibition
zone diameters
for amoxicillin; strains
isolated from cattle
(RESAPATH, 2003).



ANNEXE 1 / APPENDIX 1

Figure 1.45

Escherichia coli (1 387 souches) : distribution des diamètres pour amoxicilline-acide clavulanique, souches de bovins.

Escherichia coli (1 387 strains): distribution of inhibition zone diameters for amoxicillin-clavulanate, strains from cattle (RESAPATH, 2003).

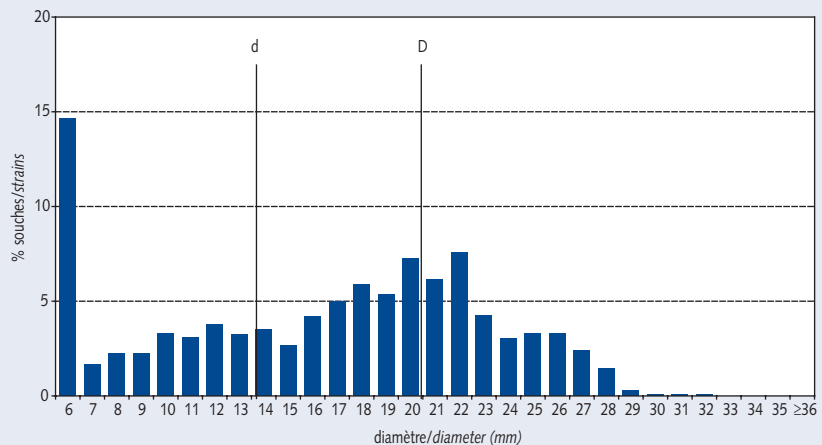


Figure 1.46

Escherichia coli (1 678 souches) : distribution des diamètres pour le ceftiofur, souches de bovins.

Escherichia coli (1 678 strains): distribution of inhibition zone diameters for ceftiofur, strains isolated from cattle (RESAPATH, 2003).

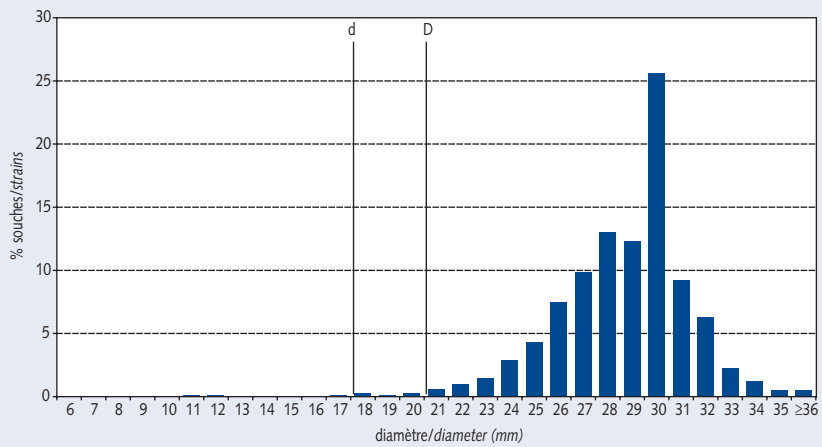


Figure 1.47

Escherichia coli (1 847 souches) : distribution des diamètres pour la gentamicine, souches de bovins.

Escherichia coli (1 847 strains): distribution of inhibition zone diameters for gentamicin, strains isolated from cattle (RESAPATH, 2003).

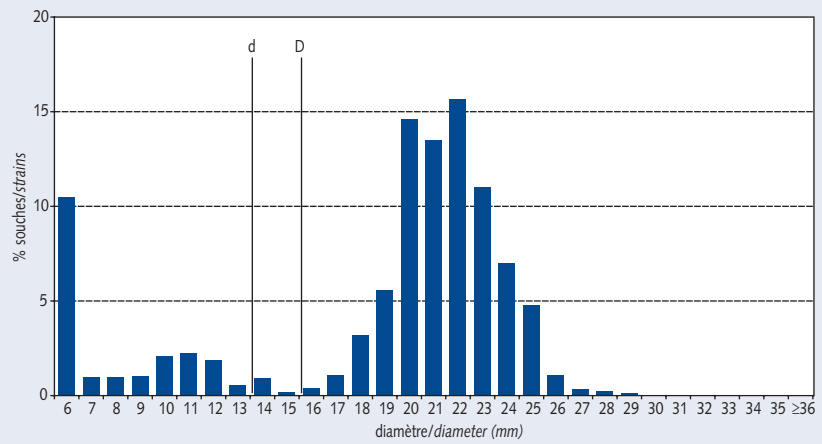


Figure 1.48

Escherichia coli
(1 801 souches) :
distribution des
diamètres pour
l'enrofloxacine,
souches de bovins.

Escherichia coli
(1 801 strains):
distribution of inhibition
zone diameters
for enrofloxacin, strains
isolated from cattle
(RESAPATH, 2003).

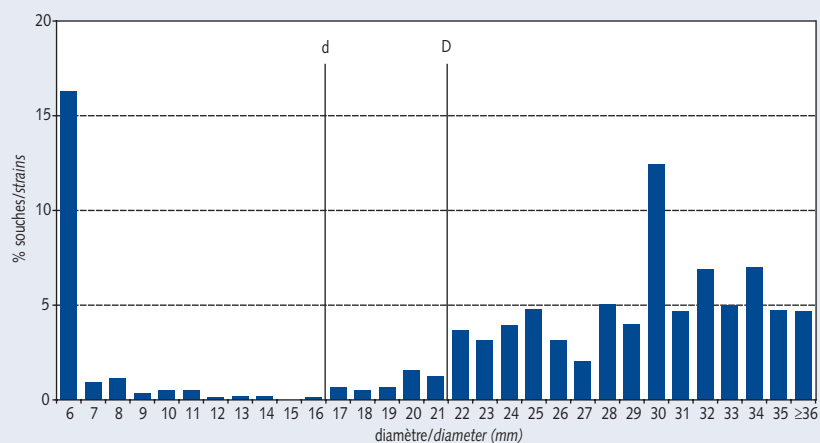


Figure 1.49

Escherichia coli
(1 689 souches) :
distribution des
diamètres d'inhibition
pour l'amoxicilline;
souches isolées
de tous prélèvements
chez la volaille.

Escherichia coli
(1 689 strains):
distribution of inhibition
zone diameters
for amoxicillin; strains
isolated from poultry
(RESAPATH, 2003).

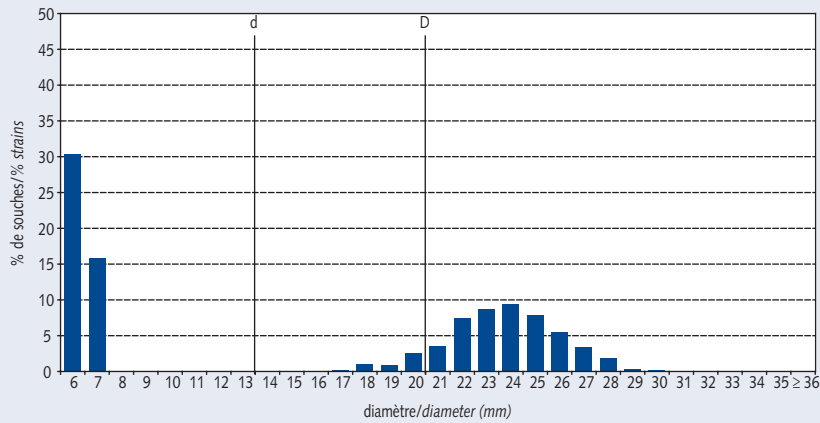


Figure 1.50

Escherichia coli
(1 260 souches) :
distribution des
diamètres d'inhibition
pour l'amoxicilline,
souches isolées
de tous prélèvements
chez le porc.

Escherichia coli
(1 260 strains):
distribution of inhibition
zone diameters
for amoxicillin; strains
isolated from swine
(RESAPATH, 2003).

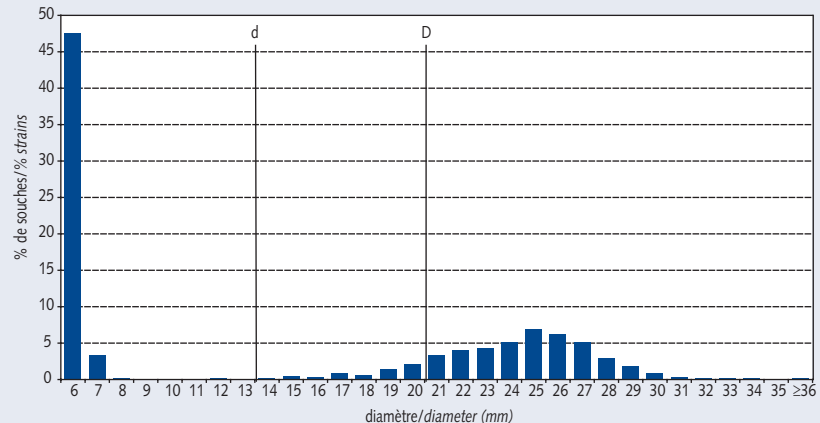


Figure 1.51

Escherichia coli (1 590 souches) : distribution des diamètres d'inhibition pour l'enrofloxacine, souches isolées de tous prélevements chez la volaille.

Escherichia coli (1 590 strains): distribution of inhibition zone diameters for enrofloxacin; strains isolated from poultry (RESAPATH, 2003).

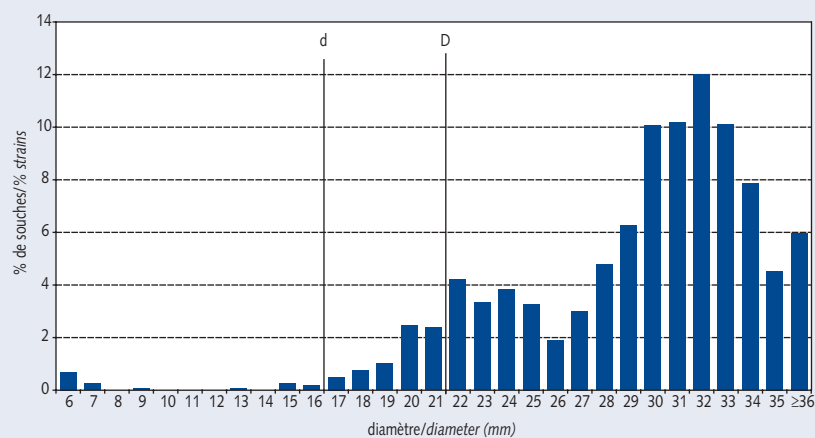


Figure 1.52

Escherichia coli (1 362 souches) : distribution des diamètres d'inhibition pour l'enrofloxacine, souches isolées de tous prélevements chez le porc.

Escherichia coli (1 362 strains): distribution of inhibition zone diameters for enrofloxacin; strains isolated from swine (RESAPATH, 2003).

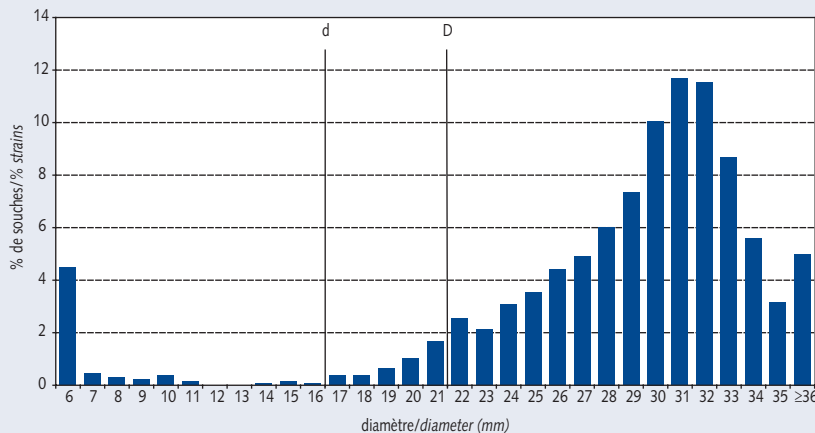


Figure 1.53

Streptococcus uberis (595 souches) : distribution des diamètres d'inhibition pour l'érythromycine ; souches de mammites de bovins.

Streptococcus uberis (595 strains): distribution of inhibition zone diameters for erythromycin; strains isolated from bovine mastitis (RESAPATH, 2003).

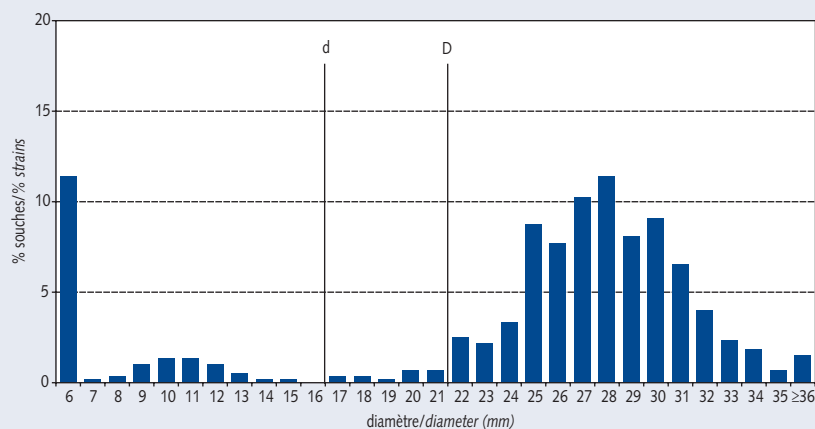


Figure 1.54

Streptococcus uberis (526 souches) : distribution des diamètres d'inhibition pour la lincomycine ; souches de mammites de bovins.

Streptococcus uberis (526 strains): distribution of inhibition zone diameters for lincomycin; strains isolated from bovine mastitis (RESAPATH, 2003).

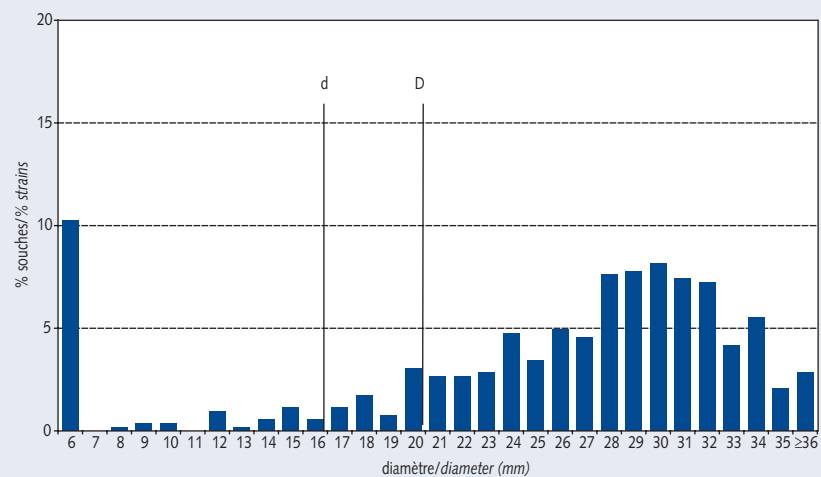


Figure 1.55

Streptococcus uberis (595 souches) : distribution des diamètres pour la spiramycine ; souches de mammites de bovins.

Streptococcus uberis (595 strains): distribution of inhibition zone diameters for spiramycin; strains isolated from bovine mastitis (RESAPATH, 2003).

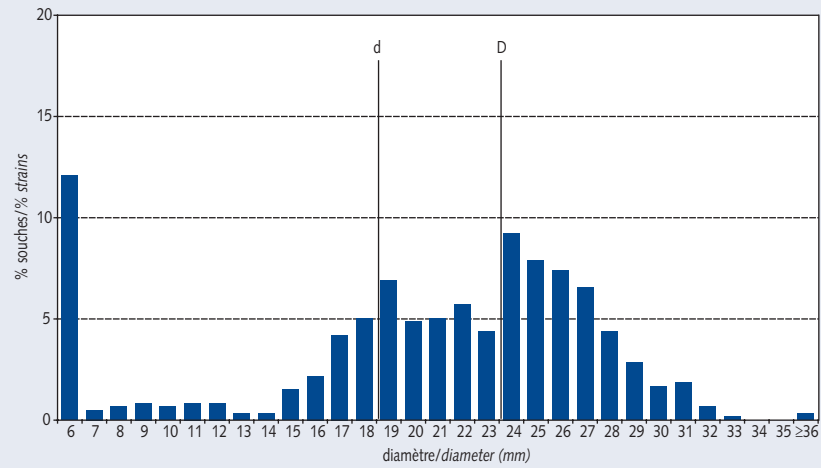


Tableau 1.1 *Escherichia coli* : distribution des diamètres d'inhibition, souches responsables de bactériémies.
Escherichia coli: distribution of inhibition zone diameters, strains isolated from bacteraemia (Réseau Azay-résistance, 2003).

Souches/ Strains	Antibiotique/ Antibiotic	Total souches/ strains						Nombre de souche ayant un diamètre (mm) de :/ Number of strains with a diameter (mm) of :																												
		<	d	≥	Total souches/ strains	6	7	8	9	10	11	12	13	14	15	16	17	18	19	20	21	22	23	24	25	26	27	28	29	30	31	32	33	34	35	36
Toutes/All	Amoxicilline	14	21	477	256	1	2	1	1	1	2	6	21	23	30	39	33	9	23	10	3	6	2	1	6	1										
	Amoxicilline + clavulanate	14	21	312	3	0	1	2	5	6	9	10	9	18	21	22	13	51	32	33	24	11	8	1	5											
	Céfotaxime	15	21	477	6					2	1		1		1		1	1	3	5	7	10	23	32	34	41	53	50	40	13	127	27	3			
	Imipénème	17	22	477																																
	Gentamicine	14	16	475	23	3	1	1	2	2	2	12	68	77	79	64	53	35	28	15	5	4	1													
	Cotrimoxazole	11	16	279	85	1	2	1	5	2	2	1	6	3	3	4	4	3	16	2	10	10	13	21	18	16	13	9	6	1	22					
	Ac. nalidixique	15	20	361	52	1	2						1	2	10	18	39	27	31	40	30	34	23	21	9	6	5	10								
	Ciprofloxacine	19	22	478	26	4	8	6	5	3			1		1	1	1	3	6	7	9	21	22	28	20	24	29	14	4	119	117					
	Ciprofloxacine	19	22	303																1	3	6	15	19	27	16	21	23	8	3	119	40				
	R ac. nalidixique	19	22	55	17	4	5	5	4	2			1							1	1	3	2	1	3	3	1	1								
	S ac. nalidixique	19	22	137	1																															
	Amoxicilline + clavulanate	14	21	164	3	1	2	5	5	6	9	10	9	18	21	21	20	11	16	3	4	8	1	5												
	R Amoxicilline																																			

S : sensible/susceptible ; R : résistant/resistant.

Tableau 1.2 *Morganella morganii* : distribution des diamètres d'inhibition.
Morganella morganii: distribution of inhibition zone diameters (Réseau REUSSIR, 2003).

Souches/ Strains	Antibiotique/ Antibiotic	Total souches/ strains						Nombre de souche ayant un diamètre (mm) de :/ Number of strains with a diameter (mm) of :																										
		<	d	≥	Total souches/ strains	6	7	8	9	10	11	12	13	14	15	16	17	18	19	20	21	22	23	24	25	26	27	28	29	30	31	32	33	34
Toutes/All	Amoxicilline	14	21	594	510	18	9	8	13	7	9	7	2	1	3	2	2	0	0	1	0	0	0	0	0	0	0	0	0	0	0	0	1	
	Céfotaxime	15	21	563	3	0	0	0	0	1	0	0	4	5	2	5	8	11	14	13	8	11	13	11	18	20	20	19	28	14	23	24	268	
	Ac. nalidixique	15	20	400	95	1	3	1	2	0	0	1	0	0	1	2	0	0	1	5	8	16	20	24	28	33	33	13	21	10	4	22		
	Ciprofloxacine	19	22	396	24	2	1	1	3	0	1	3	1	5	0	5	2	1	4	6	5	8	4	7	4	2	8	19	13	9	6	17	22	210
	S ac. nalidixique	19	22	235	0	0	0	0	0	0	0	0	0	0	0	0	0	0	1	1	0	2	1	1	1	1	1	1	1	1	1	1	172	
	R ac. nalidixique	19	22	80	21	1	0	1	3	0	1	3	1	1	5	0	4	2	1	3	5	4	5	3	1	0	2	1	3	1	0	1	1	1

S : sensible/susceptible ; R : résistant/resistant.

Tableau 1.3

Proteus mirabilis : distribution des diamètres d'inhibition.
Proteus mirabilis: distribution of inhibition zone diameters (Réseau REUSSIR, 2003).

Souches/ Strains	Antibiotique/ Antibiotic	d	D	Total souches/ strains	6	7	8	9	10	11	12	13	14	15	16	17	18	19	20	21	22	23	24	25	26	27	28	29	30	31	32	33	34	35	≥ 36	
Toutes/All		<	≥	N strains	6	7	8	9	10	11	12	13	14	15	16	17	18	19	20	21	22	23	24	25	26	27	28	29	30	31	32	33	34	35	≥ 36	
	Amoxicilline	14	21	1 869	625	5	3	11	27	26	20	21	14	7	7	5	1	0	2	6	2	8	12	25	32	50	92	111	140	102	137	82	59	35	202	
	Céfotaxime	15	21	1 780	0	0	0	0	0	0	0	0	1	1	0	4	1	7	9	9	7	7	6	13	11	15	9	25	23	36	48	36	60	1 452		
	Ac. nalidixique	15	20	1 491	359	2	2	1	4	5	2	4	1	5	5	14	16	17	82	78	98	131	104	128	124	90	83	48	26	25	15	10	5	2	5	
	Ciprofloxacine	19	22	1 280	82	1	2	5	6	3	3	2	5	6	7	6	4	14	18	11	31	24	29	15	17	26	23	29	29	36	30	50	67	682		
S. ac. nalidixique	Ciprofloxacine	19	22	834	0	0	0	0	0	0	0	0	0	0	0	0	0	0	0	1	1	9	11	21	18	17	13	16	17	14	17	27	20	34	53	545
R. ac. nalidixique	Ciprofloxacine	19	22	351	87	1	1	5	5	3	3	2	5	5	7	5	5	12	14	7	29	19	22	13	12	13	6	2	4	2	2	7	5	36		

S : sensible/susceptible ; R : résistant/résistant.

Tableau 1.4

Proteus vulgaris : distribution des diamètres d'inhibition.
Proteus vulgaris: distribution of inhibition zone diameters (Réseau REUSSIR, 2003).

Souches/ Strains	Antibiotique/ Antibiotic	d	D	Total souches/ strains	6	7	8	9	10	11	12	13	14	15	16	17	18	19	20	21	22	23	24	25	26	27	28	29	30	31	32	33	34	35	36
Toutes/All		<	≥	N strains	6	7	8	9	10	11	12	13	14	15	16	17	18	19	20	21	22	23	24	25	26	27	28	29	30	31	32	33	34	35	36
	Amoxicilline	14	21	208	172	0	3	3	2	2	1	6	0	0	1	1	1	1	4	1	2	1	0	2	3	1	1	0	0	0	0	0	0		
	Céfotaxime	15	21	190	0	0	0	0	0	0	0	0	0	0	0	0	0	0	0	0	1	0	0	2	0	1	0	2	8	4	6	11	7	7	
	Ac. nalidixique	15	20	151	9	0	0	0	0	0	0	0	0	0	0	0	0	1	3	4	4	7	15	12	16	19	20	13	6	7	6	2	2	1	
	Ciprofloxacine	19	22	138	0	0	0	0	0	0	0	0	0	0	0	0	0	0	0	0	0	0	0	1	2	2	5	1	7	4	12	7	92		
S. ac. nalidixique	Ciprofloxacine	19	22	120	0	0	0	0	0	0	0	0	0	0	0	0	0	0	0	0	0	0	0	1	1	0	2	2	5	0	6	4	9	80	
R. ac. nalidixique	Ciprofloxacine	19	22	5	0	0	0	0	0	0	0	0	0	0	0	0	0	0	0	0	0	0	0	0	0	0	0	0	0	0	0	0	0		

S : sensible/susceptible ; R : résistant/résistant.

Tableau 1.5

Salmonella Enteritidis : distribution des diamètres d'inhibition.
Salmonella Enteritidis: distribution of inhibition zone diameters (Réseau REUSSIR, 2003).

Souches/ Strains	Antibiotique/ Antibiotic	d	D	Total souches/ strains	6	7	8	9	10	11	12	13	14	15	16	17	18	19	20	21	22	23	24	25	26	27	28	29	30	31	32	33	34	35	36
Toutes/All		<	≥	N strains	6	7	8	9	10	11	12	13	14	15	16	17	18	19	20	21	22	23	24	25	26	27	28	29	30	31	32	33	34	35	36
	Amoxicilline	14	21	135	10	0	0	0	0	0	0	0	0	0	0	0	0	0	0	0	0	0	0	0	0	0	0	0	0	0	0	0	0		
	Céfotaxime	15	21	123	0	0	0	0	0	0	0	0	0	0	0	0	0	0	1	0	0	0	0	0	0	0	0	0	0	0	0	0	0		
	Ac. nalidixique	15	20	96	8	0	0	0	0	0	0	0	0	0	0	0	0	0	1	0	1	1	8	9	18	17	13	9	4	4	0	2	1	0	
	Ciprofloxacine	19	22	102	0	0	0	0	0	0	0	0	0	0	0	0	0	0	0	0	0	0	0	0	0	0	0	0	0	0	0	0	0	0	

S : sensible/susceptible ; R : résistant/résistant.

Tableau 1.6 *Salmonella Typhimurium : distribution des diamètres d'inhibition.*
Salmonella Typhimurium: distribution of inhibition zone diameters (Réseau REUSSIR, 2003).

Souches/ Strains	Antibiotique/ Antibiotic	d <	d ≥	Total souches/ N strains	Nombre de souche ayant un diamètre (mm) de :/ Number of strains with a diameter (mm) of :																													
					6	7	8	9	10	11	12	13	14	15	16	17	18	19	20	21	22	23	24	25	26	27	28	29	30	31	32	33	34	35
Toutes/All	Amoxicilline	14	21	76	43	0	2	0	0	1	1	0	0	0	0	0	0	0	0	0	1	0	1	0	2	7	2	4	8	1	1	1	1	
	Céfotaxime	15	21	83	0	0	0	0	0	0	0	0	0	0	0	0	0	0	0	0	0	1	0	0	0	1	3	5	9	7	7	11	39	
	Ac. nalidixique	15	20	67	4	0	0	0	0	0	0	0	0	0	1	0	0	2	1	1	3	6	15	11	9	5	4	5	0	0	0	0	0	
	Ciprofloxacine	19	22	70	0	0	1	0	0	0	0	0	0	0	0	0	0	0	0	0	0	0	1	0	0	0	2	4	3	6	5	7	4	36

S : sensible/susceptible ; R : résistant/resistant.

Tableau 1.7 *Pseudomonas aeruginosa : distribution des diamètres d'inhibition.*
Pseudomonas aeruginosa: distribution of inhibition zone diameters, (Réseau REUSSIR, 2003).

Souches/ Strains	Antibiotique/ Antibiotic	d <	d ≥	Total souche(s) N strains	Nombre de souche ayant un diamètre (mm) de :/ Number of strains with a diameter (mm) of :																															
					6	7	8	9	10	11	12	13	14	15	16	17	18	19	20	21	22	23	24	25	26	27	28	29	30	31	32	33	34	35	36	
Toutes / All	Ticarcilline	18	22	3327	44	27	39	50	62	70	68	96	84	78	59	89	91	268	237	267	304	290	194	150	103	95	60	42	33	27	26	1	0	1		
	Pipéracilline	12	18	3332	167	15	17	27	28	36	38	31	32	50	66	49	49	61	58	90	94	130	139	215	258	330	336	365	205	171	93	59	25	62		
	Pipéracilline/tazobactam	14	19	3304	144	10	16	12	22	32	29	36	38	49	45	47	39	83	106	101	156	123	167	235	267	338	360	206	118	80	42	29	25	72		
	Céfazidine	15	21	3347	128	10	13	11	18	20	24	31	25	46	37	29	41	34	35	173	175	190	291	342	386	332	326	196	173	95	63	23	18	13	49	
	Ciprofloxacine	19	22	3287	566	34	24	20	22	21	18	22	26	22	27	26	46	34	15	62	49	49	58	66	68	105	126	151	186	224	215	217	191	576		
S pipéracilline	Pipéracilline/tazobactam	14	19	2707	0	0	0	0	0	0	0	0	0	0	0	2	6	7	67	90	85	145	155	158	232	282	336	360	277	201	118	79	42	29	25	71
R pipéracilline	Pipéracilline/tazobactam	14	19	597	144	10	16	12	22	32	29	36	38	49	43	41	32	16	16	11	8	9	3	5	2	0	1	5	0	1	0	0	1			

S : sensible/susceptible ; R : résistant/resistant.

Tableau 1.8

Streptococcus pneumoniae : distribution des CMI des β -lactamines.
Streptococcus pneumoniae: distribution of β -lactams M/Cs (CNR des Pneumocoques et Observatoires Régionaux du Pneumocoque, 2003).

Souches/ Strains	Antibiotique/ Antibiotic	c	C	Total souches/ N strains	≤ 0,01	0,03	0,06	0,12	0,25	0,5	1	2	4	8	16	32	64	128	≥ 256
Toutes/All	Pénicilline G	0,06	1	1723	661	175	62	51	70	147	375	165	16	1					
	Amoxicilline	0,5	2	1723	669	204	50	63	73	180	349	115	19	1					
Hémocultures de l'enfant	Céfotaxime	0,5	2	1723	696	152	82	69	92	374	236	19	2	1					
Bactériémie in children (<16 ans - y.o.)	Pénicilline G	0,06	1	360	135	46	12	10	16	29	65	40	6	1					
Hémocultures de l'adulte	Amoxicilline	0,5	2	360	138	46	12	13	15	44	58	29	4	1					
Bactériémie in adults	Céfotaxime	0,5	2	360	143	43	16	15	17	70	51	4	1						
	Pénicilline G	0,06	1	634	281	73	17	16	19	50	123	50	5						
	Amoxicilline	0,5	2	634	281	84	14	15	19	58	126	35	2						
	Céfotaxime	0,5	2	634	301	51	27	20	33	115	82	5							

Etude prospective multicentrique (22 Observatoires Régionaux du Pneumocoque) de janvier à décembre 2003.
 CMI par dilution en milieu gélosé Mueller-Hinton + 4 % sang cheval (CA-SFM).
 Contrôle de qualité : souche R6.
 E. varon et L. gutmann : CNR des Pneumocoques. Rapport d'activité 2004.

Prospective multicenter study (22 regional observatories) from january to december 2003.
 M/Cs in Mueller-Hinton agar + 4% horse blood (CA-SFM).
 Quality control strain: R6.
 E. Varon - L. Gutmann: CNR des pneumocoques, 2004 Report.

Tableau 1.9

Streptococcus pneumoniae : distribution des CMI des fluoroquinolones.
Streptococcus pneumoniae: distribution of fluoroquinolones M/Cs (CNR des Pneumocoques et Observatoires Régionaux du Pneumocoque, 2003).

Antibiotique/ Antibiotic	c	C	Total souches/ N strains	≤ 0,01	0,03	0,06	0,12	0,25	0,5	1	2	4	8	16	32	64	128	≥ 256	
Levofloxacine	2	4	1645																
Moxifloxacine	1	2	1645																

Etude prospective multicentrique (22 Observatoires Régionaux du Pneumocoque) de janvier à décembre 2003.
 CMI par dilution en milieu gélosé Mueller-Hinton + 4 % sang cheval (CA-SFM).
 Contrôle de qualité : souches R6, Reparc, Refparc, Refparc+gyra.
 E. VARON et L. GUTMANN : CNR des Pneumocoques, Rapport d'activité 2004.

Prospective multicenter study (22 regional observatories) from january to december 2003.
 M/Cs in Mueller-Hinton agar +4% horse blood (CA-SFM).
 Quality control strains: R6, Reparc, Refgyra, Refparc, Refparc + Gyra.
 E. Varon - L. Gutmann: CNR des pneumocoques, 2004 Report.

Tableau 1.10 *Escherichia coli : distribution des diamètres d'inhibition, tous prélevements chez les bovins.*
Escherichia coli: distribution of inhibition zone diameters, strains isolated from cattle (RESAPATH, 2003).

Antibiotique/ Antibiotic	d	D	Total	Nombre de souches ayant un diamètre (mm) de : / Number of strains with a diameter (mm) of :																													
	<	≥	N strains	6	7	8	9	10	11	12	13	14	15	16	17	18	19	20	21	22	23	24	25	26	27	28	29	30	31	32	33	34	35
Amoxicilline	14	21	1891	1304	57	6	10	5	7	8	9	7	20	24	30	40	27	74	38	46	38	48	35	18	20	11	6	1	1	1			
Amoxicilline + clavulanate	14	21	1387	203	23	31	31	46	43	52	45	49	37	58	69	82	74	101	85	105	59	42	46	46	33	20	4	1	1	1	1		
Ceftiofur	18	21	1678	1	1	2	2	1	1	1	2	4	2	5	10	17	25	49	73	125	166	219	206	430	155	105	38	20	8	9			
Gentamicine	14	16	1847	194	18	18	19	39	42	35	10	17	3	7	20	59	103	270	249	289	204	129	88	20	6	4	2	1	1	1			
Enrofloxacine	17	22	1801	293	17	20	6	9	2	3	3	2	12	9	12	28	22	66	57	71	86	57	37	91	72	224	84	124	90	126	85	84	

Tableau 1.11 *Escherichia coli : distribution des diamètres d'inhibition, souches isolées de tous prélevements chez la volaille (RESAPATH, 2003).*
Escherichia coli: distribution of inhibition zone diameters, strains isolated from poultry (RESAPATH, 2003).

Antibiotique/Antibiotic	d	D	Total	Nombre de souches ayant un diamètre (mm) de : / Number of strains with a diameter (mm) of :																													
	<	≥	N strains	6	7	8	9	10	11	12	13	14	15	16	17	18	19	20	21	22	23	24	25	26	27	28	29	30	31	32	33	34	35
Amoxicilline	14	21	1689	512	267	2	1	1	1	1	1	1	3	18	16	43	61	126	147	159	133	92	57	31	6	3	2	1	2	1	1		
Amoxicilline + clavulanate	14	21	201	2	5	2	1	2	1	3	6	4	1	4	5	4	6	18	25	28	21	23	20	7	1	2	1	2	1	1			
Ceftiofur	18	21	1683																														
Gentamicine	14	16	1531	4	1	2	6	4	2	2	6	5	3	3	16	30	81	228	337	392	236	115	39	9	8	1	1	1	1	1	1		
Triméthoprime + sulfaméthoxazole	10	16	1571	345	197	2	2	6	6	9	15	24	41	48	38	35	25	29	30	24	21	30	35	78	92	141	109	111	43	19	11	2	1
Enrofloxacine	17	22	1590	11	4	1																											

Tableau 1.12 *Escherichia coli : distribution des diamètres d'inhibition, souches isolées de tous prélevements chez le porc (RESAPATH, 2003).*
Escherichia coli: distribution of inhibition zone diameters, strains isolated from swine (RESAPATH, 2003).

Antibiotique/Antibiotic	d	D	Total	Nombre de souches ayant un diamètre (mm) de : / Number of strains with a diameter (mm) of :																													
	<	≥	N strains	6	7	8	9	10	11	12	13	14	15	16	17	18	19	20	21	22	23	24	25	26	27	28	29	30	31	32	33	34	35
Amoxicilline	14	21	1260	600	42	2	1																										
Amoxicilline + clavulanate	14	21	784	13	3	3	4	3	6	15	25	12	13	11	26	27	35	97	81	86	76	72	55	47	30	17	5	4	4	4	1		
Ceftiofur	18	21	1362																														
Gentamicine	14	16	1147	25	3	6	3	11	6	11	5	7	1	4	8	16	43	147	190	250	190	105	65	33	9	6	2	1	1	20			
Triméthoprime + sulfaméthoxazole	10	16	1364	842	69	1	1	1	3	2	4	8	16	11	6	14	19	20	24	29	21	34	47	31	39	40	23	9	1	2	3		
Enrofloxacine	17	22	1362	61	6	4	3	5	2	1	2	1	5	5	9	14	23	35	29	42	48	60	67	82	100	137	159	157	118	76	43	68	

Tableau 1.13 *Streptococcus uberis : distribution des diamètres d'inhibition, souches de mammites de bovins.*
Streptococcus uberis: distribution of inhibition zone diameters, strains isolated from bovine mastitis (RESAPATH, 2003)

Antibiotique/ Antibiotic	d	D	Total souches/ N strains	Nombre de souche ayant un diamètre (mm) de : / Number of strains with a diameter (mm) of :																													
				<	≥	6	7	8	9	10	11	12	13	14	15	16	17	18	19	20	21	22	23	24	25	26	27	28	29	30	31	32	33
Erythromycine	17	22	595	68	1	2	6	8	6	3	1	1	2	2	1	4	4	15	13	20	52	46	61	68	48	54	39	24	14	11	4	9	
Lincomycine	17	21	526	54	1	2	2	5	1	3	6	3	6	9	4	16	14	14	15	25	18	26	24	40	41	43	39	38	22	29	11	15	
Spiramycine	19	24	595	72	3	4	5	4	5	5	2	2	9	13	25	30	41	29	30	34	26	55	47	44	39	26	17	10	11	4	1	2	
Tétracycline	17	19	472	25	2	10	7	8	4	5	7	6	5	2	1	5	4	15	14	18	37	38	46	45	37	30	39	18	8	9	4	3	6

ANNEXE 1 / APPENDIX 1

Notes